

V-35 ビルツ式PCゲルバー桁橋の静的載荷およびクリープ実験について

阪神高速道路公団 正会員 今井宏典
 神戸大学 “ 藤井 学
 ○阪神高速道路公団 “ 中島裕二

§1 まえがき

昭和45年2月に開通した兵庫県道高速神戸西宮線東灘才工区間のビルツ式PCゲルバー桁橋について、プレストレス導入状態、静荷重によるたわみ分布と主要点のひずみ、動的性状調査、長期的なひずみ変化(クリープなど)、そしてゲルバー橋の一大注目点であるヒンジ部の疲労寿命やクリープについて、また本橋建設に先立って行なった模型実験結果との比較を旨とする現場諸実験を行なった。ここでは静的載荷とクリープ実験結果について述べる。

§2 実験概要

2-1 実験対象橋の概略

図-1に実験実施区間を示す。この箇所は本橋PCゲルバー桁橋の標準的なものである。

2-2 ひずみ計およびたわみ計の設置位置(図-2)

- 1) カールソン型ひずみ計(CS-10F)
 桁頭部横桁および主桁部(SG2)内部とヒンジ部16箇所にて埋設した。

- 2) ポリエステルゲージ(KP-70A-1)
 桁頭部横桁および主桁の表面に貼付した。

- 3) たわみ計(ハキ代製作所製水管式直読傾斜計SG-L-1)

図-1中の・印箇所16点に設置し、不動点は後桁H-2のピア上とした。

2-3 載荷重および載荷位置

載荷用車として8tダンプトラック4台を使用した。それらの平均重量はつぎのとおり。前輪重量: 4.6t, 後輪重量: 12.3t, 全重量: 16.9tである。載荷位置は、図-1の①~⑩で、①~⑤につっこは1台載荷、⑥~⑩は4台/組ごその重心が所定点にくるよう載荷した。

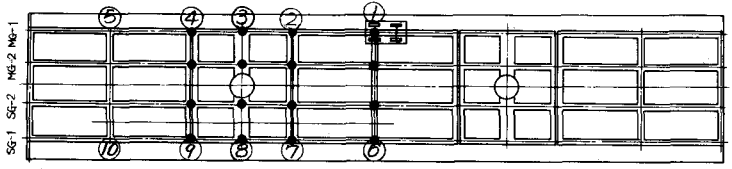
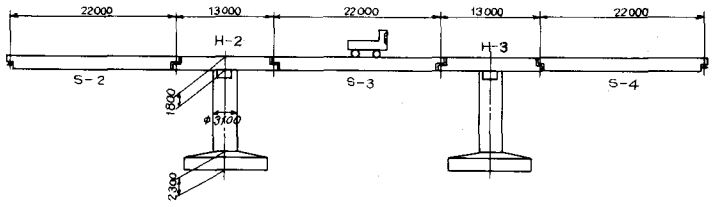


図-1

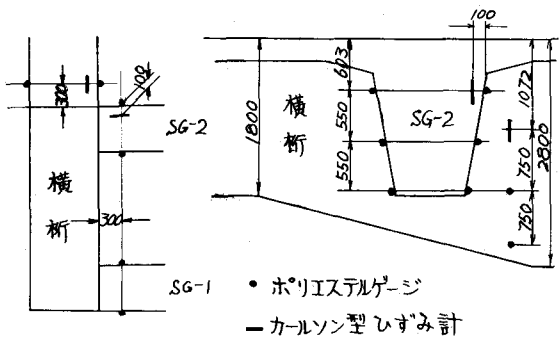


図-2

2-4 長期測定

長期測定は、プレストレス導入直後より定期的に行なっている。現在約1年間の測定結果が得られている。なお測定は、図-2に示した主桁、横桁、図-3に示したヒンジ部の、カールソン型ひずみ計によった。

§3 実験結果

3-1 導入プレストレスによる応力

1) 横桁および主桁

横桁のゲージ位置での最大、最小主応力(σ_1, σ_2)は、プレストレス導入時(コンクリート材令5日)のコンクリートのヤング係数 $E_c = 2.44 \times 10^6 \text{ kg/cm}^2$ 、ポアソン比 $\mu = 0.193$ を用いると、 $\sigma_1 = -15.2 \text{ kg/cm}^2$ 、 $\sigma_2 = -23.2 \text{ kg/cm}^2$ 、 $\tan 2\theta = -0.624$ (θ は水平方向と σ 方向との角)となり、すべての方向に圧縮応力が導入、残存していることがわかる。主桁断面重心での軸方向圧縮応力は、支保工撤去の段階では概略 $\sigma = 43.2 \text{ kg/cm}^2$ であった。

2) ヒンジ隅角部

隅角部に埋設したカールソン型ひずみ計によって測定した各鋼棒緊張によるコンクリートの圧縮ひずみ合計は、受桁で 337.2×10^{-6} 、吊桁で 443.2×10^{-6} である。これら全ひずみに対する各鋼棒によるひずみの比(この比は補強効果とも考えられる)を求めると図-4のようである。また同図にはさらに提案したヒンジ部ひびわれ荷重計算式²⁾によって求めた各鋼棒の補強効果計算値をも併記した。図-4より、主鋼棒 P_1, P_1' によって60~70%の補強効果があり、 P_2 鋼棒によって残りの30~40%を受け持っている。 P_2 鋼棒は隅角部応力にはほとんど影響も与えなからずわかる。また実験値と計算値は比較的よく一致していて、さらに計算式はヒンジ部設計に充分有用であると考えられる。

3-2 静的荷重実験結果

1) ひびわれ分布

荷重状態10種、測点16につきたひび測定を行なったが、その結果の代表的なものを図-5に示した。これからもわかるように全般的には通常予想されるひび分布が実験されている。図に併記した本橋を立体連続構造として解析した計算値³⁾との比較によると同一傾向にあることがわかる。E点計算値は実験値の約1.6倍になっている。これは計算値解析にあたって、仮定されたピアと桁格子との接合状態、ピアの剛性などが実橋のそれらと異なっていたのではなかろうかと推測される。本橋のような1本ピアで、

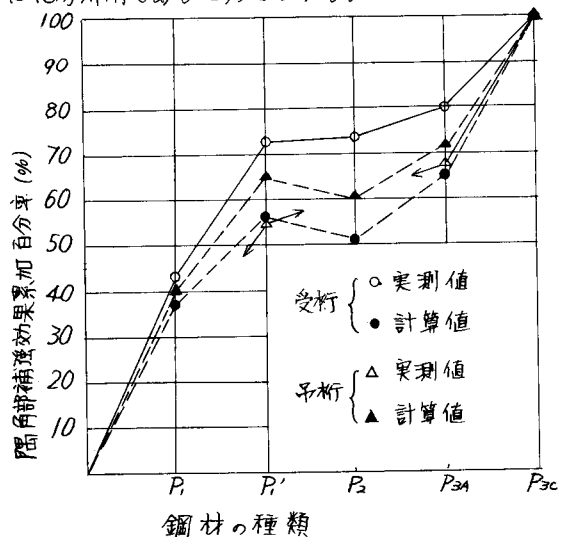
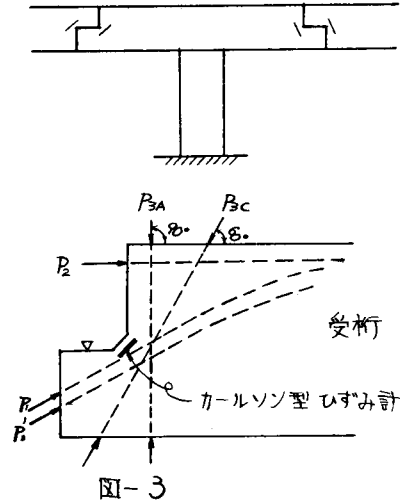


図-4 隅角部補強効果

力が、大きく異なるにも拘らず、ひずみ量は両者で大差がある。すなわち「クリープひずみは載荷応力に比例する」という Davis Glanville の説則に反しているようであるが、これはヒンジ部応力はまったく局部的であるため、応力の再分配により、見かけのクリープひずみはそれほど大きくならぬものと考えられる。以上のように興味ある結果が得られているが、この点について今後のひずみ変化をさらに調査し、検討していく予定である。

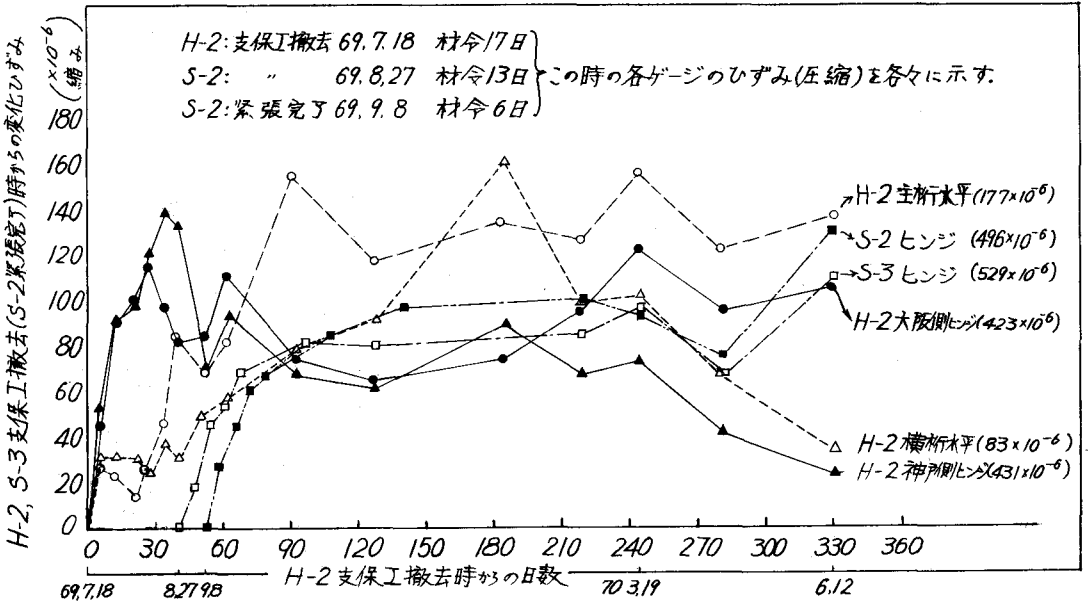


図-6 H-2, S-3 支保工撤去 (S-2 は緊張完了) 時からのひずみ変化

§4 あとがき

以上の結果を総括すると

- 1) 静的載荷による実験たわみは、計算値より小エリガ、変形状態は両者よく合致している。
- 2) 設計時に一つの肉眼点となる柱根頭部付近には充分の圧縮応力が残存していることが確認されたが、載荷重が小さかつたことにより、加じれに対する設計資料としては満足なものが得られた。
- 3) ヒンジ隅角部へのアレストレス導入性状は、模型実験、弾性解による結果とよく一致しており、さきのひびわれ荷重算定式は、ヒンジ部の設計に充分有用である。
- 4) 用途後の一般走行車によるヒンジ部ひずみの最大値は 62×10^{-6} (引張) で約 1 時間の測定で 1 回観察された。残留圧縮ひずみも 300×10^{-6} 程度と仮定すれば変動範囲は約 1/5 となり、疲勞に対しては肉眼点と考えられる。

【参考文献】

- 1) 今井, 藤井, 和田; ピルツ式 PC ガルバー桁橋の振動性状について, 工学会関西支部年次学術講演会, 1970
- 2) 藤井, 松本, 中川; PC ガルバー桁橋ヒンジ部のひびわれ荷重計算式について, 第 9 回日本道路会議論文集 406, 1969
- 3) 今井, 和田, 中島; ピルツ式 PC ガルバー桁橋, 橋梁と基礎, 1970-7